

**А.А. Колб, канд. техн. наук**

(Украина, Днепрпетровск, Национальный горный университет)

## К РАСЧЕТУ ВЫСОКОЧАСТОТНЫХ ПУЛЬСАЦИЙ ТОКА СИЛОВОГО АКТИВНОГО КОМПЕНСАТОРА РЕАКТИВНОЙ МОЩНОСТИ

**Введение.** Преобразователи напряжения с двухсторонней проводимостью на основе АИН с ШИМ являются основным элементом при построении различных технических средств управления качеством электроэнергии. Силовые (параллельные) активные компенсаторы (САК), выполненные на основе обращенных АИН с ШИМ, выход которых подключен не к нагрузке, а к сети, позволяют с высокой точностью и быстродействием воспроизводить управляющие воздействия сложной формы. Модулируя методом ШИМ определенные соотношения и фазовый сдвиг между напряжениями сети и силового активного компенсатора, можно при большой частоте коммутации ключей обеспечить практически синусоидальный ток сети, имеющий различную ориентацию по отношению к напряжению. Это позволяет управлять неактивными составляющими полной мощности и, следовательно, качеством электроэнергии.

**Целью работы** является расчет высокочастотных пульсаций тока САК на основе АИН с ШИМ с использованием расчетной схемы, содержащей колебательный контур.

**Материалы и результаты исследования.** Состояние САК (рис.1)

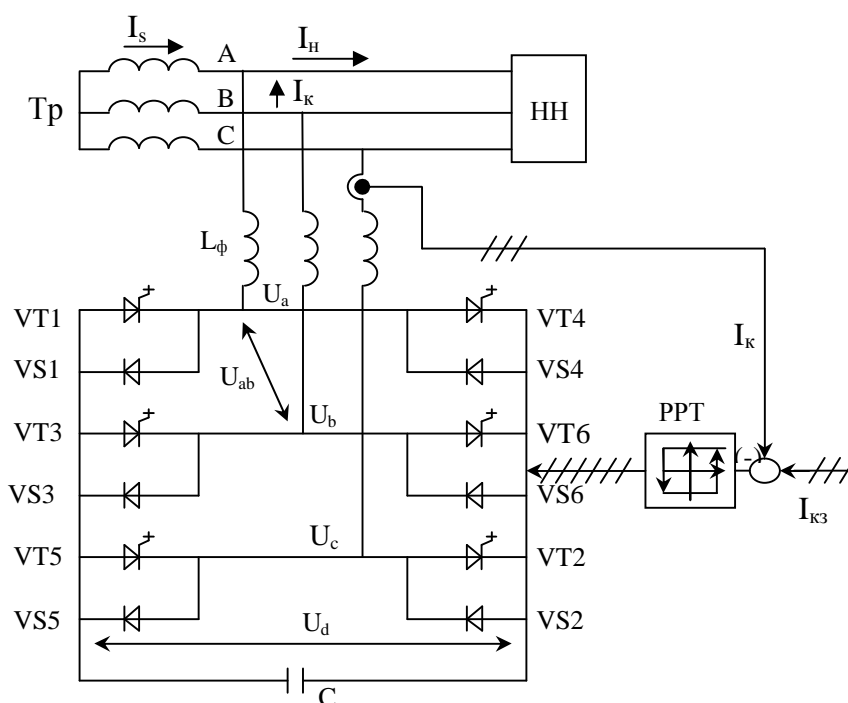


Рис. 1. Функциональная схема вентильного компенсатора с релейными регуляторами тока (PPT)(НН - нелинейная нагрузка)

характеризуется номерами замкнутых ключей К1-К6 (открытых транзисторов). В любой момент времени замкнуто три ключа и, например, в состоянии 612

замкнуты ключи К6, К1, К2. При этом в случае симметричной системы (равенство активных и реактивных сопротивлений фаз) исходная схема рис. 1 преобразуется в расчетную, представленную на рис. 2. Вследствие симметричности системы к фазе А

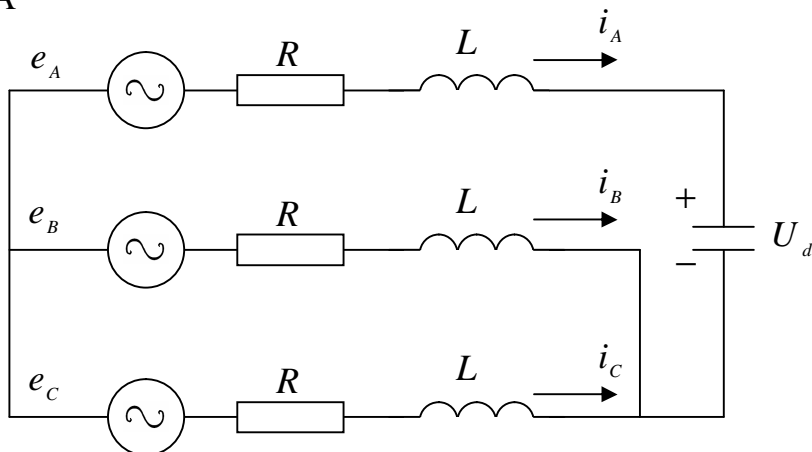


Рис. 2. Эквивалентная расчетная схема для состояния 612 (n=6, замкнуты ключи К6, К1, К2)

приложено положительное напряжение  $2U_d/3$ , а к фазам В и С вдвое меньшее отрицательное, так как они соединены параллельно и включены последовательно с фазой А. Векторы напряжений, приложенных к этим фазам, показаны на рис. 3,а. Для построения результирующего (обобщенного) вектора напряжения инвертора их

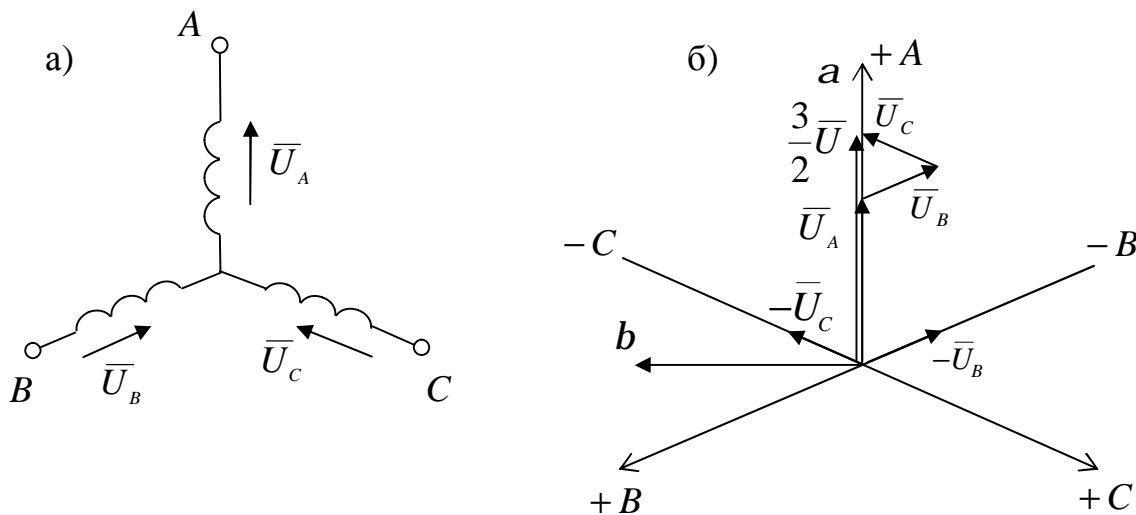


Рис. 3. К построению результирующего (обобщенного) вектора напряжения инвертора для состояния 612 (n=1)

нужно геометрически просуммировать и уменьшить по модулю в полтора раза (рис. 3, б). При очередной коммутации ключей обобщенный вектор скачкообразно изменяет фазу на  $60^\circ$ , занимая шесть фиксированных положений за период выходного напряжения.

В неподвижной системе координат  $\alpha, \beta$ , ось  $\alpha$  которой совмещена с осью А (изображающим вектором фазы А) и соединении нагрузки в звезду обобщенный вектор определяется как [1-3]

$$\bar{U}_u = \frac{2}{3} U_d e^{j(n-1)p/3}, \quad (1)$$

где  $U_d$  - напряжение в звене постоянного тока;  $n$  – номер интервала (целые числа 1...6), причем  $n=1$ , когда замкнуты ключи К6, К1, К2;  $n=2$  – замкнуты К1, К2, К3 и т. д.

Любая емкость, имеющая начальное напряжение, отличное от нуля  $U_c(0) \neq 0$ , может быть заменена такой же емкостью с нулевым начальным напряжением  $U_c(0) = 0$  и последовательно включенным источником напряжения  $U_c(0)$ . При этом с учетом рис. 2 расчетная схема САК в синхронно вращающейся системе координат, ориентированной по результирующему вектору напряжения сети представляется схемой рис. 4.

На первом межкоммутационном интервале напряжение инвертора обусловлено максимально выпрямленным напряжением в звене постоянного тока, которое равно амплитудному значению линейного напряжения сети. На каждом следующем этапе расчета переходных процессов к этому напряжению необходимо добавить напряжение на емкости, обусловленное электромагнитными процессами на предшествующем этапе. Тем самым учитывается изменение напряжения в звене постоянного тока и, следовательно, выходного напряжения инвертора.

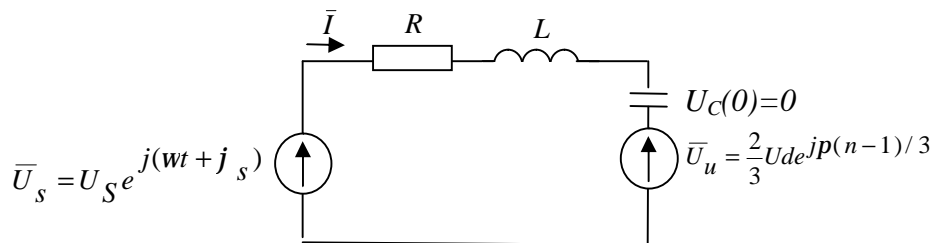


Рис. 4. Расчетная схема САК в обобщенных векторах ( $U_s, j_s$  - модуль и начальная фаза результирующего вектора напряжения сети)

Для схемы рис. 4 операторное изображение вектора тока, ориентированного относительно  $\bar{U}_s$

$$\bar{I}(p) = \frac{\bar{U}_s(p) - \bar{U}_U(p) + L\bar{I}(0)}{R + Lp + 1/Cp} = \frac{\bar{U}_s(p) - \bar{U}_U(p) + L\bar{I}(0)}{\frac{L}{p} \left( p^2 + \frac{R}{L} p + \frac{1}{LC} \right)}. \quad (2)$$

Характеристическое уравнение  $p^2 + \frac{R}{L} p + \frac{1}{LC} = 0$  имеет корни

$$p_{1,2} = -\frac{R}{2L} \pm \sqrt{\left(\frac{R}{2L}\right)^2 - \frac{1}{LC}}. \quad (3)$$

Полагая в (3):  $R/2L=b$  – коэффициент затухания;  $1/LC=w_0^2$  – резонансная частота контура, получим при комплексных корнях характеристического уравнения

$$p_{1,2} = -b \pm jw_1, \quad (4)$$

где  $w_1 = \sqrt{w_0^2 - b^2}$  – частота свободных колебаний контура.

С учетом (4) выражение (2) преобразуется к виду

$$\bar{I}(p) = \frac{\bar{U}_S(p) - \bar{U}_U(p) + L\bar{I}(0)}{\frac{L}{p} \left[ (p + \frac{R}{2L})^2 + \frac{1}{LC} - (\frac{R}{2L})^2 \right]} = \frac{\bar{U}_S(p) - \bar{U}_U(p) + L\bar{I}(0)}{\frac{L}{p} [(p+b)^2 + w_1^2]}. \quad (5)$$

Изображения результирующих векторов напряжений сети и инвертора, представленных в числителе (5), записывается в виде [4,5]:

$$\bar{U}_S = U_S e^{j(\omega t + j_s)} \Rightarrow \bar{U}_S(p) = \frac{U_S e^{j j_s}}{p - j\omega}; \quad (6)$$

$$\bar{U}_u = U_u e^{j j_u} \Rightarrow \bar{U}_u(p) = \frac{U_u e^{j j_u}}{p}, \quad (7)$$

где  $j_s$  - начальное фазовое положение результирующего вектора напряжения сети в момент коммутации ключей инвертора, отсчитываемое в положительном направлении от оси  $a$  неподвижной системы координат  $a, b$ ;  $\omega$  - угловая частота напряжения;  $j_u = (n-1)p/3$  - фазовые положения результирующего вектора напряжения инвертора;  $n=1,2...6$ -целые положительные числа.

На основании (6) и (7) имеем из (5)

$$\bar{I}(p) = \frac{pU_S e^{j j_s}}{L(p - j\omega)[(p+b)^2 + w_1^2]} - \frac{U_u e^{j j_u}}{L[(p+b)^2 + w_1^2]} + \frac{p\bar{I}(0)}{(p+b)^2 + w_1^2}. \quad (8)$$

Переходя к оригиналу [4,5], получим из (8)

$$\bar{I} = \frac{j\omega U_S e^{j\varphi_S}}{L[(b^2 + j\omega)^2 + \omega_1^2]} e^{j\omega t} + \frac{U_S e^{j\varphi_S}}{L\omega_1} \sqrt{\frac{\omega_1^2 + b^2}{(-j\omega - b)^2 + \omega_1^2}} e^{-bt} \sin(\omega_1 t + \psi) - \frac{U_U e^{j\varphi_U}}{L\omega_1} e^{-bt} \sin \omega_1 t + \frac{\bar{I}(0)\omega_0}{\omega_1} e^{-bt} \sin(\omega_1 t + \psi_1), \quad (9)$$

где  $y = \arctg \frac{w_1}{-b} - \arctg \frac{w_1}{-jw - b}$ ;  $y_1 = \arctg \frac{w_1}{-b}$ , причем угол  $y_1$  находится в пределах  $\frac{p}{2} < y_1 < p$ , так как  $\sin y_1 = \frac{w_1}{w_0} > 0$ , а  $\cos y_1 = -\frac{b}{w_0} < 0$ .

После преобразований имеем из (9)

$$\bar{I} = \frac{U_S}{Z} e^{j(\omega t + j s - j)} + \frac{w_0 U_S e^{j(j s - j)}}{w_1 \sqrt{ZLw}} e^{-bt} \sin(w_1 t + y) - \frac{U_U e^{j j U}}{Lw_1} e^{-bt} \sin w_1 t + \frac{\bar{I}(0)w_0}{w_1} e^{-bt} \sin(w_1 t + y_1), \quad (10)$$

где  $j = \arctg \frac{wL - 1/wC}{R}$ .

С целью упрощения расчета можно предположить, что в течение каждого межкоммутационного интервала оба результирующих вектора  $\bar{U}_S$  и  $\bar{U}_U$  синхронно вращаются с угловой скоростью напряжения сети. При таком допущении будут отсутствовать пульсации тока и, следовательно, их наличие обуславливается разностью  $\Delta \bar{U}$  напряжений вращающегося и неподвижного векторов  $\bar{U}_U$ , которая определяются как

$$\Delta \bar{U} = U_U (e^{j(j_U + \omega t)} - e^{j j U}) = \Delta U e^{j \Delta j}, \quad 0 \leq t \leq T_k \quad (11)$$

где  $\Delta U = U_U \sqrt{(\cos \omega t - 1)^2 + \sin^2 \omega t}$ ;  $\Delta \varphi = \arctg \frac{\sin \omega t}{\cos \omega t - 1}$  – модуль и аргумент вектора  $\Delta \bar{U}$ , обусловленного разностью вращающегося и неподвижного векторов напряжения инвертора.

При высокой частоте коммутации ключей инвертора можно пренебречь вращением вектора  $\Delta \bar{U}$ , а учитывать лишь изменение его модуля, который при этом представляет собой почти пилообразное напряжение

$$\Delta U(t) = \frac{\Delta U_{\max}}{T_k} t, \quad (12)$$

$$\text{где } \Delta U_{\max} = U_U \sqrt{(1 - \cos \omega T_k)^2 + \sin^2 \omega T_k}. \quad (13)$$

Согласно [5] изображение  $\Delta U(t)$  из (12) записывается в виде

$$\Delta U(p) = \frac{\Delta U_{\max}}{T_k p^2}. \quad (14)$$

Пилообразное напряжение можно представить в виде суммы двух напряжений [6]: линейно растущего  $\bar{U}_1(t) = kt$  и серии ступенчатых эшелонных возмущений одинаковой амплитуды  $\Delta U_{\max}$ , налагаемых одно на другое через промежуток времени  $T_k$  (рис. 5). При этом ток содержит две составляющие. Первая определяется линейно растущим напряжением, операторное изображение которого на основании (5) и (14)

$$\Delta I_1(p) = \frac{\Delta U_{\max}}{T_k L p [(p + b)^2 + \omega_1^2]}, \quad (15)$$

оригинал которого [4,5]

$$\Delta I_1(t) = \frac{\Delta U_{\max}}{T_k L \omega_1 \omega_0} \left[ \frac{\omega_1}{\omega_0} - e^{-bt} \sin(\omega_1 t + \gamma_3) \right],$$

$$\text{где } \gamma_3 = \arctg \frac{\omega_1}{-b}; \quad 0 < t < T_k \quad (16)$$

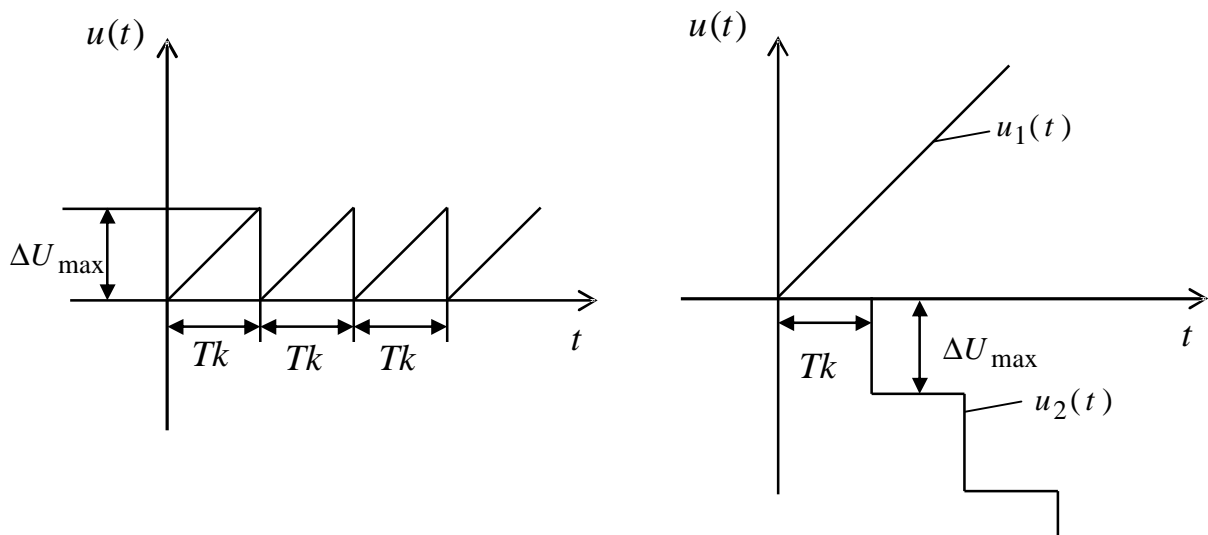


Рис. 5. К расчету высокочастотных пульсаций тока инвертора САК от пилообразного напряжения

Вторая составляющая обусловлена серией постоянных возмущений  $\Delta U_{\max}$ , изображение которого  $\frac{\Delta U_{\max}}{p}$ . Операторное изображение второй составляющей тока для одного возмущения

$$\Delta I_2(p) = \frac{\Delta U_{\max}}{L[(p+b)^2 + w_1^2]}, \quad (17)$$

оригинал которого [4,5]

$$\Delta I_2(t) = \frac{\Delta U_{\max}}{Lw_1} e^{-bt} \sin w_1 t. \quad (18)$$

Для первого межкоммутационного интервала  $0 < t = t < T_k$  весь ток  $\Delta I(t) = \Delta I_1(t)$  зависит только от первой составляющей  $\Delta I_1(t)$ , и определяется по (16). Для второго интервала ( $k=1$ )  $T_k < t = T_k + t < 2T_k$ , совпадающего с приложением первого ступенчатого возмущения  $\Delta U_{\max}$

$$\begin{aligned} \Delta I(t) &= \Delta I_1(t + T_k) - \Delta I_2(t) = \\ &= \frac{\Delta U_{\max}}{T_k L w_1 w_0} \left\{ \frac{w_1}{w_0} - e^{-b(t + T_k)} \sin[w_1(t + T_k) + \gamma_3] \right\} - \frac{\Delta U_{\max}}{L w_1} e^{-bt} \sin w_1 t. \end{aligned} \quad (19)$$

В приведенных выражениях время  $t$  отсчитывается от начала приложения ступенчатого возмущения.

Для  $n$ -го межкоммутационного интервала ( $k=n-1$ )

$$\begin{aligned} \Delta I_k(t) &= \frac{\Delta U_{\max}}{T_k L w_1 w_0} \left\{ \frac{w_1}{w_0} - e^{-b(t+kT_k)} \sin[w_1(t + kT_k) + \gamma_3] \right\} - \\ &- \frac{\Delta U_{\max}}{L w_1} e^{-bt} \left\{ e^{-b(k-1)T_k} \sin[w_1(t + (k-1)T_k)] + \right. \\ &\left. + e^{-b(k-2)T_k} \sin[w_1(t + (k-2)T_k)] + \dots + \sin w_1 t \right\} \end{aligned} \quad (20)$$

Для оценки уровня высокочастотных пульсаций тока можно также предположить, что указанное пилообразное напряжение прикладывается не к колебательному контуру, а к цепи R,L, что вполне допустимо при высокой частоте коммутации ключей инвертора. При таком допущении составляющая тока, обу-

словленная линейно растущим напряжением определяется известным выражением

$$i_1(t) = \frac{\Delta U_{\max}}{T_k R} \left[ t - T(1 - e^{-t/T}) \right], \quad (21)$$

где  $T = L/R$  - постоянная времени контура.

Так как реакция контура R,L на единственное ступенчатое напряжение

$$i_2(t) = \frac{\Delta U_{\max}}{R} (1 - e^{-t/T}), \quad (22)$$

то для k-го интервала времени  $(k-1)T_k < t < kT_k$  реакция звена на серию возмущений  $\Delta U_{\max}$  [6]

$$i_{2k}(t) = K \frac{\Delta U_{\max}}{R} - \frac{\Delta U_{\max}}{R} \left( \frac{1 - e^{-kT_k/T}}{1 - e^{-T_k/T}} \right) e^{-t/T}. \quad (23)$$

В установившемся периодическом режиме  $t = kT_k + t$ , когда  $kT_k \gg 1$ , по (21) и (23) находим выражение для расчета пульсаций тока САК

$$\Delta I(t) = i_1(t + kT_k) - i_2(t) = \frac{\Delta U_{\max}}{R} \left( \frac{t}{T_k} - \frac{T}{T_k} + \frac{e^{-t/T}}{1 - e^{-T_k/T}} \right). \quad (24)$$

Согласно (24) амплитуда пульсаций тока САК определяется как разность  $\Delta I(0) - \Delta I(0,5T_k) - 0,5T_k / T$

$$\Delta I = \frac{\Delta U_{\max}}{R} \left( \frac{1}{1 - e^{-T_k/T}} - \frac{e^{-0,5T_k/T}}{1 - e^{-T_k/T}} - 0,5 \right). \quad (25)$$

### Выводы:

1. Уровень высокочастотных пульсаций тока САК может быть определен на основании расчетной схемы, содержащей колебательный контур с нулевым начальным напряжением на емкости, подключенной к разности напряжений вращающегося и неподвижного векторов выходного напряжения инвертора.
2. Уровень пульсаций тока может быть также оценен с помощью упрощенной расчетной схемы, содержащей лишь контур R,L, включенный на линейно растущее напряжение и серию отрицательных ступенчатых напряжений, налагаемых одно на другое, через промежуток времени, равный периоду коммутации ключей АИН.



## Список литературы

1. Герман – Галкин С. Г. Компьютерное моделирование полупроводниковых систем в MATLAB 6.0: Учеб. пособие. – С.Пб.: КРОНА принт, 2001. – 320 с.
2. Пивняк Г.Г., Волков А.В. Современные частотно-регулируемые асинхронные электроприводы с частотно-импульсной модуляцией: Монография. – Д.: Национальный горный университет, 2006. – 470 с.
3. Эпштейн И.И. Автоматизированный электропривод переменного тока. – М.: Энергоиздат, 1982. – 192 с.
4. Гарднер М.Ф., Бэрнс Дж.Л. Переходные процессы в линейных системах с сосредоточенными параметрами: Пер. с англ. – М. – Л.: Гостехиздат, 1949. – 528 с.
5. Диткин В.А., Кузнецов П.И. Справочник по операционному исчислению. – М. – Л.: Гостехиздат, 1951. – 256 с.
6. Теоретические основы электромеханики: Учебник для вузов в 3-х т. / Под общ. ред. К.М. Поливанова.. – М.: Энергия, 1972. –Т.1– 240 с.